

Mechanisms of Adsorption of Ammonium Ions (As Fertilizers) on the Soils Surrounding Lake Al-Sin on the Syrian Coast

Dr. Mohammad Ghafar* 

(Received 22 / 6 / 2025. Accepted 1 / 10 / 2025)

□ ABSTRACT □

The main objective of this research is to investigate the ability of the soil components surrounding Lake Al-Sin to adsorb ammonium ions (as fertilizers). The results showed variations in the ammonium ion adsorption values depending on the study sites, which included changes in the soil properties, which led to a difference in the exchange capacity values (as an indication of the adsorption capacity and its type), as the maximum adsorption capacity (q_{max}) values for ammonium ions ranged within the range (11.06 - 38.27 mg/g).

When studying adsorption isotherms, which represent the relationship between the amount of adsorbed material on a surface and the concentration of the adsorbed material at equilibrium and at a certain temperature, it was found that they are in good agreement with the Freundlich model, with a correlation coefficient ranging within the range (0.90-0.99), This confirms that the resulting absorption is absorption on the heterogeneous (energy) centers of the surface of the absorbent material.

As a result of the statistical study that dealt with the correlation coefficients between the physical and chemical properties of the soil components in the study sites and the adsorption properties of ammonium ions, it was observed that the maximum adsorption capacity (q_{max}), as an indication of the maximum adsorption of ammonium ions, is related to the following variables: soil components (clay, oxides, presence of zeolite components, and soil pH...).

Keywords: Adsorption, Ammonium ions, Physical and chemical properties of soil, Freundlich isotherm, The maximum adsorption capacity.



Copyright :Latakia University Journal (Formerly Tishreen) -Syria, The authors retain the copyright under a CC BY-NC-SA 04

* Associate Professor, Higher Institute for Environmental Researches, Latakia University, (Formerly Tishreen), Latakia, Syria. mohammad.ghafar@tishreen.edu.syr.

آليات امتراز أيونات الأمونيوم (كمخصبات) على الترب المحيطة ببحيرة السن في الساحل السوري

د. محمد غفران *

(تاریخ الإیادع 22/6/2025. قبل للنشر في 1/10/2025)

□ ملخص □

يتمثل الهدف الأساسي من هذا البحث في التقصي عن مقدرة مكونات الترب المحيطة ببحيرة السن لامتراز أيونات الأمونيوم (كمخصبات)، حيث أظهرت النتائج تباينات في قيم امتراز أيونات الأمونيوم تبعاً لتغير موقع الدراسة، والمتضمن تغيرات في خصائص الترب، مما أدى إلى تمايز في قيم السعة التبادلية (كدلالة على سعة الامتراز وعلى نوعه)، حيث تراوحت قيم السعة الامترازية العظمى (q_{max}) لأيونات الأمونيوم ضمن المجال (38.27 mg/g - 11.06 mg/g). عند دراسة الامتراز المتساوي الدرجة Adsorption Isotherms، والتي تمثل العلاقة بين كمية المادة الممتزرة على سطح ما وتركيز المادة الممتزرة عند التوازن و بدرجة حرارة معينة، تبين بأنها تتوافق، وبصورة جيدة، مع نموذج فرونديتش ويعامل الارتباط درج ضمن المجال (0.99-0.90)، مما يؤكد بأن الامتراز الحاصل هو امتراز على المراكز غير المتجانسة (طاقياً) من سطح المادة المازة.

نتيجة للدراسة الإحصائية التي تناولت عواملات الارتباط بين الخصائص الفيزيائية والكيميائية لمكونات الترب في موقع الدراسة والخصائص الامترازية لأيونات الأمونيوم، لوحظ بأن السعة الامترازية العظمى (q_{max})، كدلالة على الامتراز الأعظمي لأيونات الأمونيوم، ترتبط مع المتغيرات التالية: مكونات التربة (الطين clay، الأكسيد، وجود مكونات زيلوليتية، و pH التربة).

الكلمات المفتاحية: امتراز، أيونات الأمونيوم، الخصائص الفيزيائية والكيميائية للترب، نموذج فرونديتش متساوي الحرارة، سعة الامتراز العظمى.



حقوق النشر : مجلة جامعة اللاذقية (تشرين سابقاً) - سورية، يحتفظ المؤلفون بحقوق النشر بموجب الترخيص CC BY-NC-SA 04

* أستاذ مساعد، قسم الكيمياء البيئية، المعهد العالي لبحوث البيئة، جامعة اللاذقية (تشرين سابقاً)، اللاذقية، سوريا.
mohammad.ghafar@tishreen.edu.syr

مقدمة:

يمكن أن يؤدي وصول أيونات الأمونيوم إلى مياه المسطحات المائية إلى تعزيز تركيز المخصبات، والذي يترافق مع إفراط في نمو النباتات المائية بما في ذلك الطحالب والأشنیات، مما يُؤدي إلى اعتلالات بيئية [1].

وعلى اعتبار أيونات الأمونيوم كملوثات سطحية للترب، فإن تحدّرها الأساسي يتمثل في الاستخدام غير الرشيد للأسمدة، بالإضافة إلى وجود مصادر أخرى منها مطامر النفايات المعاشرة ومن الإدارة غير السليمة لمياه الصرف الصحي [2].

تشير العديد من البحوث والدراسات العلمية [3] إلى أن تلوث المياه الجوفية بأيونات الأمونيوم، يُعزى، وبصورة رئيسية، إلى الاستخدام غير الرشيد للأسمدة الحاوية على أيونات الأمونيوم رغم تميّزها بحركيّة أضعف من أيونات النترات. من جهةٍ ثانية، تتمتّع أيونات الأمونيوم بحركيّة أسهّل نحو المقاطع السفلية من الترب ذات القوام الرملّي المحدود والمتميّزة بمحنوي ضعيف من الطين والمادة العضوية، مما سيمكّن أيونات الأمونيوم الوصول إلى المياه الجوفية وتلوينها.

ترتبط مقدرة الترب على امتراز أيونات الأمونيوم على خصائص هذه الترب ومن أهمها درجة الحموضة (لما لها من تأثير على درجة تأين الأيونات ومنها أيونات الأمونيوم) ومحنواها من المادة العضوية (لأن المركبات العضوية تشكّل جسور بين الطبقات الشرائحيّة للغضار مما يُسهم في زيادة السطح النوعي للغضار)، مما يُؤدي إلى زيادة مقدرة الترب على امتراز الأيونات ومنها أيونات الأمونيوم بزيادة محتوى الترب من المادة العضوية [4].

وفيما يتعلّق بتأثير نسيج التربة على امتراز أيونات الأمونيوم، أظهر المرجع [5] بأن الترب الطينية (الغضاريّة)، ولدي مقارنتها مع الترب الرملية، تقوم بأداء أفضل ومقدرة أكبر على امتراز أيونات الأمونيوم. كما أظهر المرجع [6] حدوث الامتراز عن طريق التبادل الأيوني لأيونات الأمونيوم NH_4^+ مع كل من الصوديوم والبوتاسيوم والمنيزيوم والكالسيوم على موقع التبادل الإلكتروستاتيكيّة، وفقاً لمحتوى الترب من هذه العناصر. وبخصوص تصنيف الترب إلى مجموعات وفقاً للشحنات المحمّلة، اقترح الباحثون في المرجع [7] تصنيف الترب إلى سطوح ذات شحنات مستدامة، وأخرى ذات شحنات متغيرة، مع التأكيد على إمكانية أن تتمتّع السطوح ذات الشحنات المتغيرة بشحنات موجبة وسالبة في آن واحد. من جهةٍ أخرى، أظهر المرجع [8] بأن كمية الشحنات المتغيرة الكلية ترتبط ارتباطاً وثيقاً مع المحتوى الفلزي والعنصري ومع pH . وفيما يتعلّق بالشحنات الموجبة، بين الباحثون في المرجع [9] بأن الكمية الأعظمية من أيونات الأمونيوم NH_4^+ تُمثّل من قبل الشحنات الموجبة للتربة، مع لحظ وجود تباين في شحنة سطوح التبادل الأيوني لأيونات الأمونيوم NH_4^+ والمرتّب أساساً بوجود الشحنات الموجبة الأخرى في الأطوار الصلبة والمحلول، وتعتمد أيضاً على تركيز أيون الأمونيوم الأولي.

أهمية البحث وأهدافه:

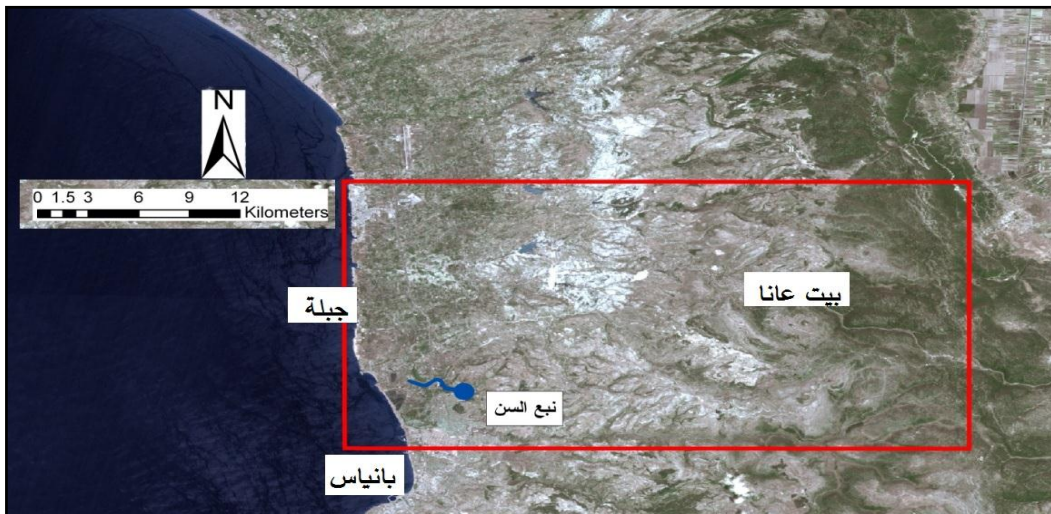
تستلزم عمليات الرصد والمراقبة التقصي عن مكامن التلوث البيئي، وخاصةً عندما يتعلّق الأمر بمنطقة هشة بيئياً، والمتّمثلة بالمنطقة المحيطة ببحيرة السن في الساحل السوري. ودرءً لتلوث هذا المورد الاستراتيجي لمياه الشرب، ستساهم نتائج هذا البحث العلمي في رفد الإدارات المختصة بمعطيات تتعلّق بامتراز أيونات الأمونيوم على الترب المحيطة ببحيرة السن، وبالتالي الحد من انتقالها إلى هذا المورد المائي الهام، مما يحد من وصول المخصبات وتجنب ظاهرة الإثارة الغذائي، لما لها من آثار بيئية مدمرة تقلّص، وإلى حدٍ كبير، من الإمدادات بمياه العذبة. وضمن إطار حماية الموارد المائية وأحواضها الصناعية من التلوث، وللحد من ظاهرة الإثارة الغذائي، ستساهم نتائج هذا البحث، من

خلال الربط بين مقدرة امترار أيونات الأمونيوم وخصائص الترب المحيطة ببحيرة السن وبخاصة محتواها من الماء العضوي ودرجة حموضتها، حيث يهدف البحث إلى وضع إجراءات وتدابير بنية تحسين جودة مياه هذا المورد المائي الهام، إضافةً للغضار والزيوليتات الطبيعية السورية والنقليل من الاستخدام المفرط وغير الرشيد للأسمدة الحاوية على أيونات الأمونيوم، على اعتبار أن هذه الأسمدة هي المصدر الرئيسي لتلوث المياه الجوفية بأيونات الأمونيوم.

طائق البحث ومواده:

أولاً: موقع وخصائص منطقة الدراسة

ضمن إطار شبكة الإحداثيات الخاصة بمنطقة الدراسة، وبغية موضع المواقع، يبلغ خط العرض: $35^{\circ} 40' 57'' - 35^{\circ} 49' 22''$ ، في حين يبلغ خط الطول: $(41.59^{\circ} 54' - 41.55^{\circ} 13')$ ، وتحتاج منطقة الدراسة جزءاً من المنطقة الوسطى من سلسلة جبال الساحل السوري. يُظهر الشكل (1) صورة فضائية لحدود منطقة الدراسة.



الشكل (1): صورة فضائية لحدود منطقة الدراسة

طوبغرافياً، يمكن تقسيم منطقة الدراسة إلى قطاعين اثنين:

القطاع الأول: وهو عبارة عن تلال سطحية مكونة من منحدرات ذات ميل نسبي ومتكونة من المارل والصخور الكلسية المارلية (الكلس الغضاري)، ويتراوح ارتفاع هذه التلال بين 250 متر إلى 700 متر عن سطح البحر، وتتخللها أودية بشكل عرضاني. بالإضافة إلى ذلك، يوجد بعض المضائق المائية الرئيسية منحدرة من أعلى السلسلة [10].

القطاع الثاني: والذي يشتمل على السهل الموزاي لشمال البحر الأبيض المتوسط وعلى مصطبات قريبة من الشكل المستوى، تتمتع بميل طفيف باتجاه الغرب. كما يُلاحظ وجود سهل ضمن الأودية الفيوضية وكذلك المضائق المائية المقetta، وبشكل جزئي بأخدود غير عميق [10].

ثانياً: التجارب والقياسات

تحطيل الترب: من أجل استبيان آليات امترار أيونات الأمونيوم، وبعد عمليات خلط ونخل ترب الأفق الأول والمتمنى بعمود التربة بعمق بين (0 - 30 cm)، تم إنجاز العديد من التحاليل والاختبارات الفيزيائية والكميائية [10]:

التحاليل والاختبارات الفيزيائية:

1) التحليل الميكانيكي للترب باستخدام طريقة الهيدرومتر؛

2) تقدير التوصيل الهيدروليكي المشبع للترب (SHC) في المختبر.

التحاليل والاختبارات الكيميائية:

1) قياس درجة الحموضة pH وأنجز ذلك بنسبة (1: 2.5) (ترية/ماء) باستخدام جهاز pH حقل (pH Meter)

2) قياس الناقلة الكهربائية (EC) باستخدام جهاز (Thermo Orion model 420A) في مستخلص ترية مائي (5:1) ترية/ماء؛

3) تقدير كربونات الكالسيوم في الترب باستخدام المعايرة الحجمية بمحلول حمض كلور الماء؛

4) تقدير تركيز الكالسيوم والمغنيزيوم بطريقة المعايرة بوجود مشعر الفري سيانات؛

5) قياس كمية المادة العضوية (OM) في الترب باستخدام طريقة أكسدة الكربون العضوي بمحلول دي كرومات البوتاسيوم في وسط حامضي، ثم معايرة الزائد من دي كرومات بواسطة سلفات الحديد (ملح مور) بوجود دليل الفيروئين؛

6) تقدير تركيز الأزوت الكلي في الترب باستخدام جهاز كيلداهل وذلك عبر تهضيم العينات التربانية بحمض الكبريت المركز؛

7) تقدير تركيز أيونات الأمونيوم باستخدام جهاز Spectrophotometer عند طول موجة nm (420)؛

ثالثاً - الامتراز:

بغية تحديد آليات امتراز أيونات الأمونيوم على الترب المحيطة ببحيرة السن في الساحل السوري، رُقمت مواقع الدراسة على النحو التالي:

1-بيت عانا، 2-سطوير، 3-بيت العلوني، 4-جيوبول، 5-قرفص، 6-القطيلية، 7-الراهبية، 8-نبع الواحة. ويعكس هذا الترتيب تبايناً في الخصائص الفيزيائية والكيميائية للترب هذه الموقع، والتي تشمل على تأثيرات متباعدة على آليات امتراز أيونات الأمونيوم، وفقاً لطبيعة الترب ولطبيعة الأنشطة البشرية والمتمثلة بالمارسات الزراعية المطبقة في موقع الدراسة. الموضحة في الشكل (1). علماً بأن هذه المواقع تقع على الحامل الأساسي لنهر السن ولروافده المغذية.

لتقييم عملية امتراز أيون الأمونيوم في التربة، أجريت تجارب مخبرية لتقدير الامتراز وخصائصه في ثمانية مواقع على كامل منطقة الدراسة، وهي بالترتيب:

من الناحية التجريبية، وبغية تهيئة العينات لزوم دراسة آليات امتراز أيونات الأمونيوم على الترب، وبعد عمليات خلط ونخل (باستخدام منخل 2 mm ترب الأفق الأول والمتمثل بعمود التربة بعمق بين 0 - 30 cm)، ووفقاً للبروتوكول الموصف من قبل Mohalla [10]، تم أخذ وزن gr (1) من التربة المنخلولة، وأضيف إليه ml (50) من محلول أيون الأمونيوم وفقاً للتراكيز التالية: (150, 100, 50, 10, 5) ppm وعند درجة حرارة 20 درجة مئوية، ومن ثم وضعت العينات على هزار ميكانيكي لمدة 24 ساعة، ليصار بعد ذلك إلى ترشيح العينات بغية تقدير التركيز التوازني باستخدام جهاز Spectrophotometer عند طول موجة nm (460) .

من العلاقة التي توصل إليها الباحثون في المرجع [11]:

$$q_e = \frac{C_i - C_e}{m} V \quad (1)$$

حسبت كمية أيونات الأمونيوم الممتزرة على ترب المواقع عند التوازن. ومن خلال العلاقة: من أجل تعين نموذج الامتزاز (حيث يعبر أنموذج لانغموير عن التغطية الأحادية للسطح وأن جميع المراكز الامتزازية متساوية القدرة الامتزازية)، تم استخدام معادلة لانغموير الخطية:

$$\frac{1}{q_e} = \frac{1}{q_{\max}} + \frac{1}{q_{\max} K_L} \cdot \frac{1}{C_e} \quad (2)$$

حسبت الكمية العظمى من أيونات الأمونيوم الممتزرة. حيث يمثل $\frac{1}{q_{\max}}$ تقاطع الخط البيانى مع المحور $(1/q_e)$. في

حين حسب ثابت الألفة (K_l) $(1/Kg)$ من العلاقة:

$$K_l = m = \frac{1}{q_{\max} K_L} \quad \dots \quad (3)$$

ويُشير (Slope) إلى ميل المنحني البيانى $(1/q_e)$ بدلالة $(1/C_e)$. علماً بأنه، وباستخدام برنامج (- ORIGIN 2019)، تم حساب قيم كل من (K_l) و (q_{\max}) . حيث:

C_e: هي تركيز أيون الأمونيوم في محلول الابتدائي (mg/l) .

C₀: تركيز أيون الأمونيوم التوازني (mg/l) .

V: هو حجم محلول مقدراً بالليتر (l) .

m: هي كثافة المادة المازة (الترية) المستخدمة:

q_e: كمية أيون الأمونيوم الممتزرة لكل وحدة وزن من التربة (mg/g) .

q_{max}: السعة الامتزازية العظمى للمادة المازة (mg/g) .

K_l: ثابت لانغموير ويوضح تقارب الرابط للأيون على السطوح غير المتجلسة ويعبر عنه بالعلاقة:

$$\log q_e = \log K_f + \frac{1}{n} \log C_e \quad (4)$$

حيث K_f ثابت فريندليش ويعبران عن السعة الامتزازية.

"**n**" (أو ، $1/n$) شدة أو القدرة الامتزازية وتبين سطح المادة المازة (غير المتجلس طاقياً)، حيث يشير انخفاض "**n**" (أي ارتفاع $1/n$) إلى سطح غير المتجلس طاقياً وكثافة امتزاز أعلى، وتبين سطح المادة المازة؛ (أي غير المتجلس طاقياً)، بينما يصف أنموذج فريندليش الامتزاز على السطوح غير المتجلسة ويعبر عنه بالعلاقة:

النتائج والمناقشة:

تتميز ترب الأفق الأول والمتمثل بعمود التربة بعمق بين (0 - 30 cm) بحموضة معتدلة تمثل إلى القلوية بصورة طفيفة، وتتمتع بمحنتى عالي من كربونات الكالسيوم ومن المادة العضوية أيضاً. وضمن إطار التصنيف، فإن الترب المحيطة ببحيرة السن في الساحل السوري هي ترب طينية بنسبة عالية، ثم لومية طينية (الطمي الطيني)، وبنسبة أقل

الترب اللومية، وتراوح التوصيل الهيدروليكي المائي المشبع ضمن المجال $0.85 - 1.88 \text{ cm/min}$. يُظهر الجدول (1) بعض الخصائص الفيزيائية والكيميائية لترب هذا الأفق.

الجدول (1): بعض الخصائص الفيزيائية والكيميائية لترب الأفق الأول بعمق بين (0 - 30 cm) للموقع المدروسة

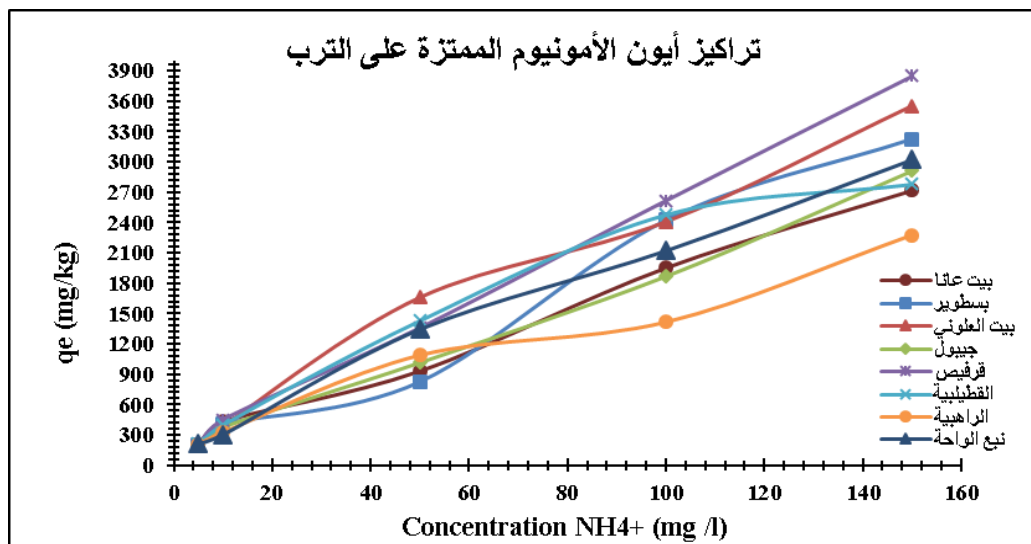
N(leaching) Average mg/l	SHC Cm/min	%Clay	Silt %	Sand%	Ca mg/g	N (Total)%	CaCO ₃ %	OM %	Ec ds/m	pH	الموقع المدروسة
28.626	1.30	43	30	27	2.700	0.18	30	2.60	0.78	7.24	بيت عاتا
26.544	1.09	47	31	22	2.200	0.18	47	3.48	0.35	7.71	بسطوير
21.276	0.85	72	19	9	7.020	0.48	29	4.66	0.34	7.28	بيت العلوني
22.084	1.10	39	36	25	1.840	0.47	52	3.47	0.34	7.81	جبول
41.129	1.88	64	22	14	6.100	0.32	28	1.89	0.85	7.04	قرفص
31.833	1.79	44	20	36	3.210	0.64	43	1.99	0.45	7.26	القططيلية
26.750	0.87	54	39	7	5.730	0.48	61	4.22	0.26	7.68	الراهبية
30.423	1.12	23	58	19	1.560	0.51	33	2.89	0.17	7.21	نبع الواحة

في حين يعكس الجدول (2) تغيرات تراكيز أيونات الأمونيوم الممترزة على ترب الأفق الأول والمتمثل بعمود التربة بعمق بين (0 - 30 cm) للموقع في المنطقة المدروسة بتابعية تركيز أيونات الأمونيوم الابتدائي مقدراً بـ (mg/g).

جدول (2): تغيرات تراكيز أيونات الأمونيوم الممترزة بتابعية تركيز أيونات الأمونيوم الابتدائي (mg/g).

$C_i \text{ (mg/l)}$	تراكيز أيونات الأمونيوم الممترزة (NH_4^+ mg/g)							نبع الواحة
	بيت	بسطوير	بيت العلوني	جبول	قرفص	القططيلية	الراهبية	
5	0.21	0.207	0.209	0.205	0.203	0.195	0.199	0.200
10	0.305	0.325	0.400	0.450	0.383	0.387	0.407	0.435
50	1.348	1.087	1.431	1358	1.021	1.658	0.829	0.935
100	2125	1.414	2.479	2.617	1873.5	2.406	2.424	1.956
150	3025	2.275	2.780	3.847	2915	3.550	3.225	2.720

ويُظهر الشكل (1)، والذي يمثل بيانيًّا الجدول (2) تغيرات تراكيز أيونات الأمونيوم الممترزة على ترب الأفق الأول والمتمثل بعمود التربة بعمق بين (0 - 30 cm) للموقع في منطقة الدراسة بتابعية تركيز أيونات الأمونيوم الابتدائي مقدراً بـ (mg/Kg).



الشكل (1): تغيرات تراكيز أيونات الأمونيوم الممترزة على ترب الأفق الأول والمتمثل بعمود التربة بعمق بين (0 - 30 cm) للموقع في منطقة الدراسة بتابعية تركيز أيونات الأمونيوم الابتدائي مقداراً ب (mg/g).

تُظهر نتائج هذا البحث بأن الكميات الممترزة لأيونات الأمونيوم على ترب الأفق الأول والمتمثل بعمود التربة بعمق بين (0 - 30 cm) للموقع في منطقة الدراسة تخضع للمتراجحة التالية:

قرقيص > بيت العوني > بسطور > نبع الواحة > جبيول > القطبيبية > بيت عانا > الراهبية.

• دراسة مؤشرات امتراز أيونات الأمونيوم وفق معادلتي لانغموير وفرونديش:

يوضح الجدول (3) مؤشرات معادلتي لانغموير وفرونديش لامتراز أيونات الأمونيوم على ترب الأفق الأول والمتمثل بعمود التربة بعمق بين (0 - 30 cm) للموقع في منطقة الدراسة.

جدول (3): مؤشرات معادلتي لانغموير وفرونديش لامتراز أيونات الأمونيوم على ترب الأفق الأول والمتمثل بعمود التربة بعمق بين (0 - 30 cm) للموقع في منطقة الدراسة

	Langmuir Isotherm				Fruiendoilsh Isotherm		
	q _{max} (mg/g)	K _L (l/g)	R _L	R ²	1/n	K _f	R ²
بيت عانا	2.033	0.133	0.274	0.82	0.47	263.03	0.92
بسطور	2.0497	0.113	0.311	0.95	0.55	223.87	0.90
بيت العوني	3.827	0.049	0.505	0.99	0.65	208.93	0.98
جبيول	1.737	0.136	0.268	0.98	0.53	213.80	0.98
قرقيص	2.988	0.108	0.317	0.82	0.56	301.99	0.94
القطبيبية	2.271	0.127	0.282	0.99	0.55	251.19	0.99
الراهبية	1.106	0.247	0.168	0.80	0.59	194.98	0.97
نبع الواحة	1.164	0.260	0.162	0.88	0.49	199.53	0.98

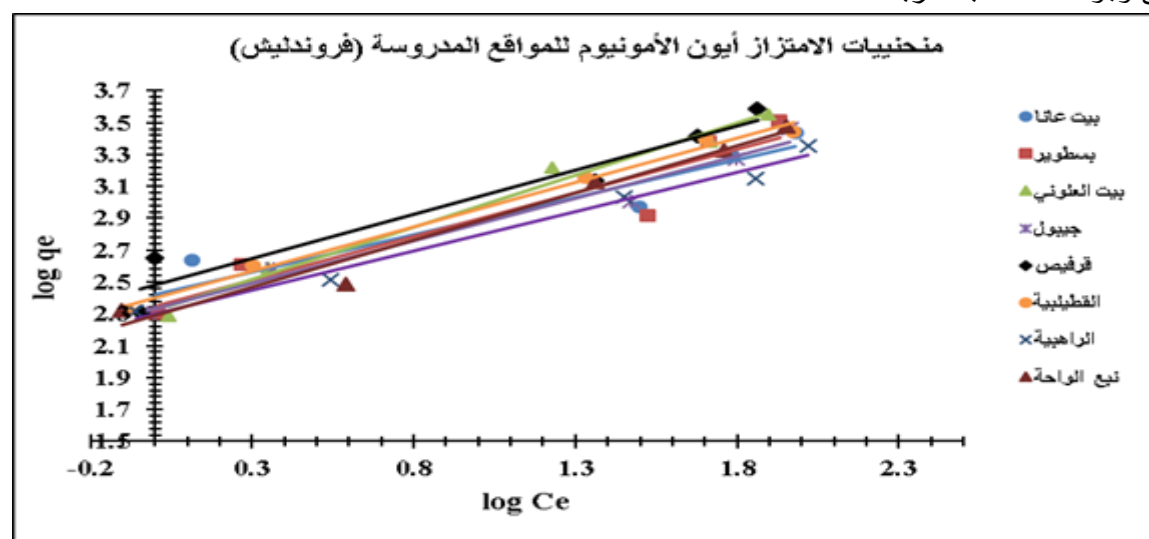
نلاحظ من الجدول (3) أن قيم معامل الارتباط R^2 لأنموذج فريندليش بشكل عام أفضل من قيم R^2 لأنموذج لأنغموير، وبالتالي يكون تطبيق أنموذج فريندليش هو الأفضل أي أن الامتراز يحدث على المراكز الامترازية غير المتجانسة الطاقة، حيث أن $1/n < 1$ أو $1/n > 1$.

يُلحوظ الدور الحاسم للخصائص الفيزيائية والكيميائية للترب المحيطة ببحيرة السن في الساحل السوري، ولا سيما محتواها من المادة العضوية والطين، في زيادة مقدرة امتراز أيونات الأمونيوم، بالإضافة إلى ارتباط هذه المقدرة بالكمية الكلية للأمونيوم الممترز على الترب، وهذا ما يؤكده العديد من الدراسات الحديثة نسبياً في هذا المجال [12-15].

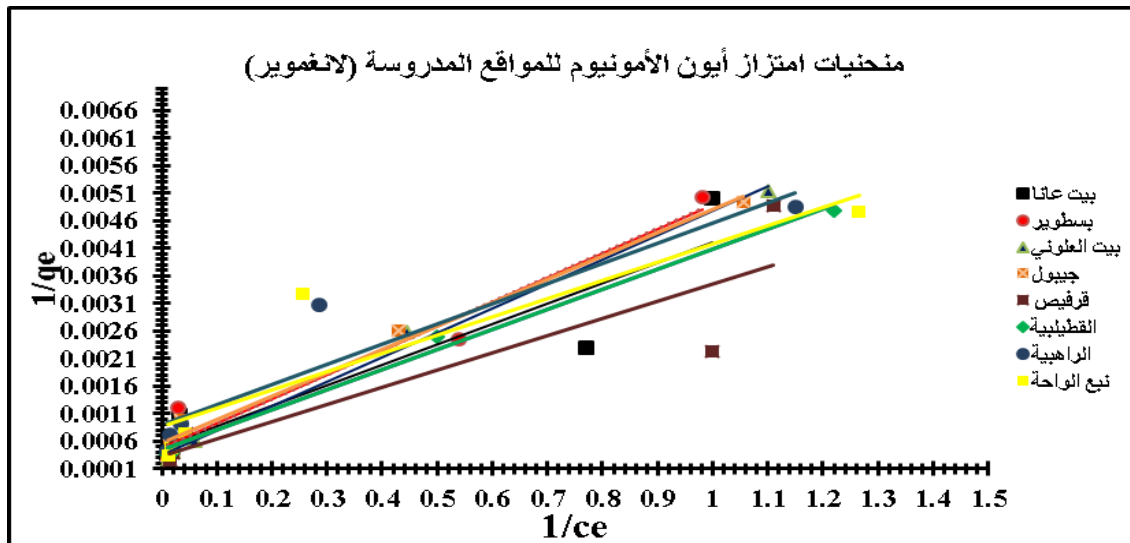
في دراسة قام الباحثون والموضحة في المرجع [16]، تم اعتماد نموذج لأنغموير لتحديد قدرة الامتراز القصوى (q_{max}) للترب المختلفة لأيونات الأمونيوم. حيث تراوحت قيم q_{max} للترب السليتية ضمن المجال (442 - 1.972 mg/g)، للترب الطينية ضمن المجال (1.890 - 3.108 mg/g)، وهي تتوافق مع قيم (q_{max}) للترب المدروسة باستثناء منطقة قرقிச، حيث كانت قيم (q_{max}) أعلى من القيم السابقة، والذي يمكن أن يُعزى إلى ارتفاع محتوى هذه الترب من الأزوٰت الكلى والمادة العضوية.

بتطبيق نموذج isotherm Fruendlich على المعطيات التجريبية (نموذج فرويندليش متساوي الحرارة، كنمودج رياضي يستخدم لوصف امتراز المواد الغازية أو السائلة على سطح صلب في درجة حرارة ثابتة. بشكل عام، يقدم هذا النموذج علاقة بين كمية المادة الممترزة على السطح وتركيز أو ضغط المادة الممترزة في المرحلة السائلة أو الغازية عند درجة حرارة ثابتة)، يُستنتج بأن هذا الأنموذج يقدم مبرراً كافياً لاعتبار أن الامتراز يحدث على المراكز الامترازية غير المتجانسة الطاقة، حيث أن $1/n < 1$ أو $1/n > 1$ ، على الترتيبة. كما واضح من المنحنيات حيث يُظهر الشكل (2) منحنيات امتراز ترب المواقع في منطقة الدراسة وفقاً لمعادلة (فروندليش)، فيما يُظهر الشكل (3) منحنيات امتراز ترب المواقع في منطقة الدراسة وفقاً لمعادلة (لانغموير). وتتوافق نتائج هذا البحث، بهذا الخصوص، مع النتائج التي توصل إليها الباحثون والموضحة في المرجعين [13، 17].

يمكن وصف معادلة فروندليش لامتراز أيونات الأمونيوم على الترب المحيطة ببحيرة السن في الساحل السوري بأنها أكثر تمثيلاً، مع قيم R^2 المعدلة تتراوح ضمن المجال (0.90-0.99) للترب المواقع في المنطقة المدروسة، بالإضافة إلى وجود شحنة سالبة للترب.



الشكل (2): منحنيات الامتراز لترب موقع الدراسة (فروندليش).



الشكل (3): منحنيات الامتاز لتراب موقع الدراسة (لانغموري).

- دراسة إحصائية لمعاملات الارتباط بين خصائص الترب للموقع في منطقة الدراسة والخصائص الامتازية لأيونات الأمونيوم: يوضح الجدول رقم (4) معاملات الارتباط بين خصائص الترب للموقع في منطقة الدراسة والخصائص الامتازية لأيونات الأمونيوم.

جدول (4): معاملات الارتباط بين خصائص الترب للموقع في منطقة الدراسة والخصائص الامتازية لأيونات الأمونيوم.

Correlations								
		q_{max}	Clay	SHC	$CaCO_3$	OM	R_L	K_L
q_{max}		Pearson Correlation	1	.786*	.210	-.610-	.059	.951**
		Sig. (2-tailed)		.021	.618	.109	.890	.000
		N	8	8	8	8	8	8
Clay		Pearson Correlation	.786*	1	.013	-.178-	.313	.738*
		Sig. (2-tailed)	.021		.975	.673	.450	.037
		N	8	8	8	8	8	8
SHC		Pearson Correlation	.210	.013	1	-.360-	-.931**	-.039-
		Sig. (2-tailed)	.618	.975		.382	.001	.928
		N	8	8	8	8	8	8
$CaCO_3$		Pearson Correlation	-.610-	-.178-	-.360-	1	.362	-.472-
		Sig. (2-tailed)	.109	.673	.382		.379	.237
		N	8	8	8	8	8	8

OM	Pearson Correlation	.059	.313	-.931**	.362	1	.285	-.010-
	Sig. (2-tailed)	.890	.450	.001	.379		.494	.981
	N	8	8	8	8	8	8	8
RL	Pearson Correlation	.951**	.738*	-.039-	-.472-	.285	1	-.918**
	Sig. (2-tailed)	.000	.037	.928	.237	.494		.001
	N	8	8	8	8	8	8	8
KL	Pearson Correlation	-.892**	-.647-	-.218-	.418	-.010-	-.918**	1
	Sig. (2-tailed)	.003	.083	.604	.303	.981	.001	
	N	8	8	8	8	8	8	8
*. Correlation is significant at the 0.05 level (2-tailed).								
**. Correlation is significant at the 0.01 level (2-tailed).								

يُلاحظ من مصفوفة الارتباط، بأن متغير السعة الامترازية العظمى q_{max} ، كمؤشر على الامتراز الأعظمي لأيونات الأمونيوم، يرتبط مع المتغيرات التالية: الطين clay، وثابت إمكانية الامتراز حسب لانغموير (R_L) وثابت الألفة K_L وفقاً لقيم التالية على الترتيب (0.786, 0.951, -0.892). ويمثل الجدول (5) تطبيق الانحدار المتعدد وفق Enter لإيجاد المعادلة، التي توضح تأثير المتغيرات على قيمة السعة الامترازية العظمى q_{max} .

جدول (5): مصفوفة الانحدار المتعدد حسب Enter

Coefficients						
Model		Unstandardized Coefficients		Standardized Coefficients	T	Sig.
		B	Std. Error	Beta		
1	(Constant)	255.786	1468.773		.174	.870
	Clay	11.601	12.297	.194	.943	.399
	RL	5677.453	3370.148	.665	1.685	.167
	KL	-1988.758-	4439.849	-.156-	-.448-	.677

a. Dependent Variable: q_{max}

ويُستتبع من الجدول (5) العلاقة التالية:

$$q_{max} = 255.786 + 11.601(Clay) - 1988.758(K_L) + 5677.453(R_L).....(9)$$

يُستنتج من الجدول (5) بأن قيم المعنوية الإحصائية Sig لكل من المتغيرات المستقلة والثابتة أكبر من مستوى الدلالة (0.05) ، مما يعني بأنه لا يمكن تبني المعادلة للتبؤ بالمتغيرات على اعتبار أن البارامترات غير معنوية. يمكن أن يُعلل ذلك بأن قيم معامل الارتباط بين المتغيرات هي قيم عالية، مما يسبب مشكلة في التنبؤ بعملية الامتراز. وبغية إيجاد حل لهذه المشكلة، يُطبق اختبار الانحدار المتعدد Stepwise Regression بطريقة Regression وفق ما هو موضح الجدول (6).

جدول (6): مصفوفة الانحدار حسب Stepwise

Coefficients						
Model	Unstandardized Coefficients			Standardized Coefficients	T	Sig.
	B	Std. Error	Beta			
1	(Constant)	-175.810	325.205		-.541	.608
	R _L	8125.099	1074.267	.951	7.563	.000

ويُستتبع من الجدول (6) العلاقة التالية:

$$q_{\max} = 8125.099(R_L) \dots \dots (10)$$

يُستنتج من الجدول (6) بأن قيم المعنوية الإحصائية Sig لثابت إمكانية الامتزاز حسب لانغموير (RL) هي أقل من مستوى الدلالة (0.05)، مما يعني بأن المعادلة جيدة التمثيل ويمكن اعتمادها للتتبؤ بالتغييرات الحاصلة في امتزاز أيونات الأمونيوم على اعتبار أن البارامترات معنوية.

الاستنتاجات والتوصيات:

الاستنتاجات:

1. تتميز ترب الأفق الأول والمتمثل بعمود التربة بعمق بين (0 - 30 cm) بحموضة معتدلة تميل إلى القلوية بصورة طفيفة، وتتمتع بمحنوى عالٍ من كربونات الكالسيوم ومن المادة العضوية أيضاً. وضمن إطار التصنيف، فإن الترب المحيطة ببحيرة السن في الساحل السوري هي ترب طينية بنسبة عالية، ثم لومية طينية، وبنسبة أقل الترب اللومية؛
 2. ظهر نتائج هذا البحث بأن الكميات الممترزة لأيونات الأمونيوم على ترب الأفق الأول والمتمثل بعمود التربة بعمق بين (0 - 30 cm) للمواقع في منطقة الدراسة تخضع للمراجحة التالية:
 3. قرفيص > بيت العلوني > بسطوير > نبع الواحة > جبيول > القطيابية > بيت عانا > الراهبية؛
 4. يمكن وصف معادلة فرونديلش (Fruendlich isotherm) لامتراز أيونات الأمونيوم على الترب المحيطة ببحيرة السن في الساحل السوري بأنها أكثر تمثيلاً بشكل عام،
 5. يلحظ من مصفوفة الارتباط، بأن متغير السعة الامترازية العظمى q_{max} ، كمؤشر على الامتراز الأعظمي لأيونات الأمونيوم، يرتبط مع المتغيرات التالية: الطين clay، وثابت إمكانية الامتراز حسب لانغموير (R_L) وثابت الألفة K_a .

التوصيات:

1. إجراء المزيد من الدراسات والبحوث العلمية التي تتناول دور المادة العضوية في زيادة امتياز أيونات الأمونيوم على الترب، وبما يؤدي خفض كمية انغسال هذه الأيونات منعاً لوصولها إلى الموارد المائية، وبالتالي تجنب ظاهرة الإنزاء الغذائي والمحافظة على جودة مياه هذه الموارد.
 2. إضافة الخامات الزيلوليتية السورية و الغضار الطبيعي السوري إلى الترب المحيطة لما تمتلكه من مواد مازة للرطوبة والأمونيا، حيث تمثل هذه المهمة الأكثر إلحاحاً في بذل كل الجهود الممكنة، والمستندة أساساً على نتائج الدراسات والبحوث العلمية، في حماية مياه بحيرة السن من التلوث بكافة أشكاله، على اعتبار أن مياه هذه البحيرة تشكل المصدر الأساسي لمياه الشرب في المنطقة الساحلية

3. التأكيد على الاستخدام الرشيد والمتوازن للأسمدة الآزوتية والفوسفاتية (كمخصبات)، وبما يراعي الخصائص الفيزيائية والكيميائية للترب ومقدرتها على الامتراز، وربط ذلك مع الظروف المناخية السائدة، لا سيما كمية الهطل المطري، وبما يؤدي إلى الحد من ظاهرة التصويب المائي للمخصبات ومنع وصولها إلى مياه الموارد المائية.

References:

- [1]K. Cameron and J. Moir, Nitrogen losses from the soil/plant system. A review, *Annals of Applied Biology*. Vol. **162**(2), pp. 145–173, (2013).
- [2]F. Ranjbar and M. Jalali, Measuring and modeling ammonium adsorption by calcareous soils, *Environmental Monitoring and Assessment*. Vol. **185**, pp. 3191–3199, (2013).
- [3]M. Zarabi and M. Jalali, Leaching of nitrogen and base cations from calcareous soil amended with organic residues, *Environmental Technology*. Vol. **33**(13–15), pp. 1577–1588, (2012).
- [4]Y. Angara, N. E. Djelalia, and S. Kebbouche-Gana, Contribution to the study of the ammonium electro-oxidation in aqueous solution, *Desalination and Water Treatment*. Vol. **63**, pp. 212–220, (2017).
- [5]R. Lv, Y. Wang, X. Yang, Y. Wen, X. Tan, Y. Zeng, and Q. Shang, Adsorption and leaching characteristics of ammonium and nitrate from paddy soil as affected by biochar amendment, *Plant, Soil and Environment*. Vol. **67**, pp. 8–17, (2021).
- [6]Y. Zhang, S. Huang, D. Wan, Y. Huang, W. Zhou, and Y. Zou, Fixed ammonium content and maximum capacity of ammonium fixation in major types of tillage soils in Hunan Province, China, *Agricultural Sciences in China*. Vol. **6**(4), pp. 466–474, (2007).
- [7]S. Wang, H. Lin, and K. Hou, Impact assessment of ammonia emissions on inorganic aerosols in East China using response surface-modeling technique, *Environmental Science & Technology*. Vol. **45**, pp. 9293–9300, (2011).
- [8]D. Kucic, I. Cosic, M. Vukovic, and F. Briski, Sorption kinetic studies of ammonium from aqueous solution on different inorganic and organic media, *Acta Chimica Slovenica*. Vol. **60**, pp. 109–119, (2013).
- [9]F. Ranjbar and M. Jalaillet, Empirical and mechanistic evaluation of NH_4^+ release kinetic in calcareous soils, *Archives of Environmental Contamination and Toxicology*. Vol. **66**, pp. 606–615, (2014).
- [10] D. Mohalla, H. Shahin, M. Ghafar, M. Dais, and K. Ibrahim, Contribution to the study of ammonium leaching and its influencing factors in the soils of Al-Sin Lake Catchment, Banias, Syria, *Water Practice & Technology*. Vol. **18**(6), (2023).
- [11] J. Wang and X. Guo, Adsorption isotherm models: Classification, physical meaning, application and solving method, *Chemosphere*. Vol. **258**, pp. 445–509, (2020).
- [12] A. Podlasek and E. Koda, Kinetic and equilibrium studies of sorption of ammonium in the soil-water environment in agricultural areas of Central Poland, *Applied Sciences*. Vol. **6**, 269, (2016).
- [13] W. Hamdi, N. Ziadi, E. Kouakoua, D. Blavet, F. Gérard, and M. Seffen, Effect of the soils properties on the sorption capacity of phosphorus and ammonium by alkaline soils of the semi-arid areas, *IOSR Journal of Applied Chemistry*. Vol. **8**(5), pp. 34–42, (2015).
- [14] A. F. Oisisi, D. E. O. Azu, L. C. Agim, and E. D. Chukwu, Ammonium sorption characteristics of soils of coastal plain sand in Owerri West Imo State, *Nigerian Journal of Soil Science*. Vol. **33**(2), pp. 105–110, (2023).

- [15] Y. Yao, B. Gao, M. Zhang, M. Inyang, and A. Zimmerman, Effect of biochar amendment on sorption and leaching of nitrate, ammonium, and phosphate in a sandy soil, *Chemosphere*. Vol. **89**(11), pp. 1467–1471, (2012).
- [16] A. Sieczka and E. Koda, Kinetic and equilibrium studies of sorption of ammonium in the soil-water environment in agricultural areas of Central Poland, *Applied Sciences*. Vol. **6**, No. 10: 269, (2016).
- [17] M. G. Davis, K. Yan, and J. G. Murphy, Evaluating adsorption isotherm models for determining the partitioning of ammonium between soil and soil-pore water in environmental soil samples, *EGUsphere*, (2024).